

УДК 004.67

Гусев Е.И.

ОПТИМИЗАЦИЯ ДОСТУПА К РАСПРЕДЕЛЁННЫМ СТРАНИЦАМ ПАМЯТИ В CLOUD COMPUTING СИСТЕМАХ ОСНОВАННЫХ НА SHARED EVERYTHING АРХИТЕКТУРЕ ИСПОЛЬЗУЯ МЕТОД РАЗГРУЗКИ ОЧЕРЕДЕЙ

Национальный технический университет Украины
"Киевский политехнический институт"

eugene@levelextra.ru

Реализованная в Oracle RAC shared everything архитектура использует наиболее перспективный на сегодня способ обработки общего ресурса в Cloud Computing СУРДБ при обслуживании OLTP трафика. В данной работе рассмотрен вариант оптимизации этого подхода, повышающий устойчивость на коллапс традиционных алгоритмов обработки общих страниц

Ключевые слова: Cloud Computing, метод разгрузки очередей, обработка общего ресурса, распределённые страницы памяти

Постановка задачи

В работе [1] была рассмотрена проблема коллапса по блокировкам *Cloud Computing* системах. Применение алгоритмов 2 фазного блокирования [2] и 2х фазной фиксации транзакции [3] часто становится узким местом в *Cloud Computing* системах. Именно поэтому технология *Oracle RAC* [4] не применяет озвученные алгоритмы, а использует собственный подход, известный как *shared everything*. Более подробно модель доступа к странице данных в *Oracle RAC* рассмотрена в [5]. Однако стоит заметить, что классическая схема работы с общим ресурсом глобального кэша, страдает существенным недостатком – низкой устойчивостью на коллапс по блокировкам [1] и как следствие ограниченными возможностями масштабирования. Ограничения в первую очередь касаются высоких требований ко времени отклика сети [6]. Это не позволяет использовать глобальные сети в качестве транспорта распределённого облака и фактически сводит на нет попытки реализовать с помощью *shared everything* подхода дистанционно разнесённое облако. Выявление и устранение недостатков *shared everything* подхода являются целью данной работы. В качестве альтернативы традиционному способу доступа к странице

во время пиковых нагрузок, когда резко увеличиваются длины очередей к «горячим» страницам предлагается метод разгрузки очередей.

Выбор математической модели задержек в Oracle RAC учитывающей возникновение конфликта

Рассмотрим общую ситуацию с доступом к ресурсам, ожидающим очередь. В работе [5] было показано что в *shared everything* системах время доступа к странице без учёта ожидания очереди $2t_{net}+t_{send}$, а время ожидания очереди t_{queue} . Очевидно, что общее время t_{acc} , – это сумма $2t_{net}+t_{send}$ и t_{queue} .

Моделируя входящий поток доступа к страницам стационарным пуассоновским потоком, получаем отражённое в таблице 1 распределение ряда времён обработки (верхняя строка) и соответствующих им вероятностей (нижняя строка) в зависимости от количества конфликтов:

Табл. 1. Времена обработки и вероятности

$t_{send}/2$	$2t_{send}/2$...	$nt_{send}/2$
$(v_{pl} t_{wpl}) e^{-v_{pl} t_{wpl}}$	$\frac{(v_{pl} t_{wpl})^2}{2!} e^{-v_{pl} t_{wpl}}$...	$\frac{(v_{pl} t_{wpl})^n}{n!} e^{-v_{pl} t_{wpl}}$

Время t_{wpl} – это время в течении, которого проводится наблюдение. Не сложно вычислить среднее время

дополнительного ожидания как сумму ряда:

$$t_{queue} = \sum_{n=1}^{\infty} \frac{t_{send}}{2} \frac{(v_{pl} t_{wpl})^n}{n!} e^{-v_{pl} t_{wpl}} = \frac{v_{pl} t_{wpl} t_{send}}{2} \quad (1)$$

Нас в первую очередь интересует время в течении которого ресурсом может пользоваться одна заявка – т.е. время блокирования страницы. Это сумма t_{send} и t_{queue} . Получаем уравнение и решаем его:

$$t_{wpl} = t_{send} + \frac{v_{pl} t_{wpl} t_{send}}{2} \Rightarrow t_{wpl} = \frac{2t_{send}}{2 - v_{pl} t_{send}} \quad (2)$$

Таким образом, общее время доступа к странице традиционным для *shared everything* способом равно:

$$t_{acc} = 2t_{net} + t_{send} + \frac{v_{pl} t_{send}^2}{2 - v_{pl} t_{send}} = 2t_{net} + \frac{2t_{send}}{2 - v_{pl} t_{send}} \quad (3)$$

формула имеет смысл лишь в том случае если количество узлов облачной СУРБД достаточно большое. В противном случае необходимо учитывать эффект т.н. естественной оптимизации – т.е. такой оптимизации когда страница уже находилась на выполняющем обработку узле либо узел, выполняющий обработку является мастер узлом. В указанных случаях узлу не имеет смысла по сети обращаться к самому себе и время доступа сокращается. Такой подход уже был отражён в статье [5], однако приведём таблицу с временами доступа без учета ожиданий в зависимости от закешированности запрашиваемой страницы локально и того, является ли обрабатывающий узел мастером или нет:

1 и m в табл. 2 обозначают события закешированности на локальном узле (1) и то, что обрабатывающий запрос узел оказался мастер-узлом. 1 и m с верхней чертой – соответственно – обратные события.

Рассмотрим теперь влияние фактора естественной оптимизации на время ожидания страницы (обозначим t_{pw}). Если длина очереди n , то при обработке каждых двух соседних запросов вероятно ситуация, что запросы с одного узла. В случае если все узлы имеют одинаковую

ёмкость и, учитывая, что поток стационарный, для количества узлов k вероятность такого события $1/k$.

Табл.2. Время доступа без ожиданий очереди

	1 m	1 m	1 m	1 m	Среднее время доступа
xx	0	$t_{net} + t_{send}$	0	$2t_{net} + t_{send}$	$\left(1 - \frac{1}{n}\right) \left(2t_{net} + t_{send} - \frac{t_{net}}{n}\right)$
sx	0	$t_{net} + t_{send}$	$2t_{net}$	$2t_{net} + t_{send}$	$\left(1 - \frac{1}{n}\right) \left(2t_{net} + t_{send} + \frac{t_{net}}{n}\right)$
xs	0	$t_{net} + t_{send}$	0	$2t_{net} + t_{send}$	$\left(1 - \frac{1}{n}\right) \left(2t_{net} + t_{send} - \frac{t_{net}}{n}\right)$
ss	0	$t_{net} + t_{send}$	0	$2t_{net} + t_{send}$	$\left(1 - \frac{1}{n}\right) \left(2t_{net} + t_{send} - \frac{t_{net}}{n}\right)$

Количество «соседств» между запросами в очереди на 1 меньше длины очереди, но есть еще одно «соседство» между первой пересылкой и началом очереди во время которого вероятно, что заявки будут с одного узла. Таким

$$t_{pw \cdot n} = n \frac{t_{send}}{2} - \frac{1}{k} \left(n\right) \frac{t_{send}}{2} = n \frac{t_{send}}{2} \left(1 - \frac{1}{k}\right) \quad (4)$$

образом, для очереди длиной n получаем:

Поскольку распределение вероятностей количества событий не поменялось, при вычислении среднего времени получаем:

Преобразовав аналогично (1) получаем:

$$t_{pw} = \sum_{n=1}^{\infty} \left(\left(n \frac{t_{send}}{2} \left(1 - \frac{1}{k}\right) \right) \frac{(v_{pl} t_{wpl})^n}{n!} e^{-v_{pl} t_{wpl}} \right) \quad (5)$$

$$t_{pw} = \frac{v_{pl} t_{wpl}}{2} \left(\left(1 - \frac{1}{k}\right) v_{pl} t_{wpl} \right) \quad (6)$$

Время t_{wpl} – это время в течении которого ожидается конфликт. В нашем случае это

$$t_{wpl} = t_{send} + \frac{t_{send}}{2} \left(\left(1 - \frac{1}{k}\right) v_{pl} t_{wpl} \right) \quad (7)$$

сумма t_{send} и t_{pw} .

Решение полученного уравнения:

$$t_{wpl} = \frac{2t_{send}}{2 - v_{pl} t_{send} \left(1 - \frac{1}{k}\right)} = \frac{2k t_{send}}{2k - v_{pl} t_{send} (k - 1)} \quad (8)$$

откуда:

$$t_{pw} = \frac{(k - 1) v_{pl} t_{send}^2}{2k - v_{pl} t_{send} (k - 1)} \quad (9)$$

Приведём в таблице 3 задержки с учетом ожидания в очереди во всех базовых сценариях, поскольку в сценарии нет очередей за общий ресурс, то и время ожидания не считаем, символ количества узлов снова обозначим как n , а не k :

Табл.3. Задержки с учетом ожидания очереди

xx	$\left(1 - \frac{1}{n}\right) \left(2t_{net} + t_{send} - \frac{t_{net}}{n}\right) + \frac{(n-1)v_{pl}t_{send}^2}{2n - v_{pl}t_{send}(n-1)}$
sx	$\left(1 - \frac{1}{n}\right) \left(2t_{net} + t_{send} + \frac{t_{net}}{n}\right) + \frac{(n-1)v_{pl}t_{send}^2}{2n - v_{pl}t_{send}(n-1)}$
xs	$\left(1 - \frac{1}{n}\right) \left(2t_{net} + t_{send} - \frac{t_{net}}{n}\right) + \frac{(n-1)v_{pl}t_{send}^2}{2n - v_{pl}t_{send}(n-1)}$
ss	$\left(1 - \frac{1}{n}\right) \left(2t_{net} + t_{send} - \frac{t_{net}}{n}\right)$

В процессе моделирования трафика необходимо определить вероятности xx , sx , xs и ss . При определении эффективности алгоритма разгрузки очереди лучше использовать модель трафика, удовлетворяющую интерфейсу модели. Это даст возможность сопоставить и среднее время отклика, и среднюю длину очереди для различных подходов к доступу при изменении интенсивности как основного параметра трафика. Примером моделирования такого трафика может быть элементарный трафик с обратной связью, подробно описанный в работе [7], где он упоминается под названием «простейший». Однако для оценки эффективности алгоритма достаточно привести зависимость времени отклика, с учётом времени ожидания очереди от интенсивности конфликта, что и будет сделано в данной работе.

Описание метода разгрузки очереди.

Идея метода достаточно проста: если нарастает очередь – то необходимо снизить количество пересылок между узлами. Для этого выбирается узел, который эксклюзивно будет вносить изменения в «горячую» страницу. Это позволит избежать очередей, которые образуются из-за увеличения времени отклика вследствие добавления ко времени обработки времён

пересылок между узлами. Принципиально также заложить в алгоритм возможность мигрировать с узла, вносящего изменения на другой узел, для обеспечения динамического балансирования нагрузки.

Распишем возможную структуру обмена сообщениями для реализации вышеперечисленных требований.

1. При возникновении длинной очереди мастер узел должен перевести страницу в режим разгрузки, т. е. узел выполняющей обработку в данный момент времени должен быть уведомлен о переводе страницы в режим разгрузки и назначен узлом выполняющим разгрузку (в дальнейшем узел-хостер). Это выдвигает требования к мастер узлу отслеживать историю пересылаемых сообщений, в противном случае очередь начнёт разгружаться только после обслуживания запросов страниц, пришедших после момента перевода в режим разгрузки.

2. На запросы страниц мастер-узел даёт ответ, с указанием узла-хостера, которому надо пересылать пакет с действиями, выполняемыми над страницей.

3. Обработывающий узел формирует и пересылает хостеру своё задание.

4. Хостер вносит изменения в страницу и пересылает текущую версию страницы обрабатывающему узлу. На этом этапе возможна оптимизация, которую мы при моделировании учитывать не будем: вместо пересылки всей страницы пересылаются изменения с последнего кэширования на узле обработчике.

5. Обработывающий узел получает страницу в состоянии, как будто он сам внёс в неё изменения и сразу же отправил дальше по запросам других страниц.

Важным моментом в этом алгоритме является минимизация ресурсов на мониторинг возникновения очереди. В данной работе мы отметим важность этих вопросов но при моделировании будем предполагать, что очередь начнёт разгружаться только начиная с обслуживания запросов страниц, пришедших после момента перевода в режим разгрузки.

Математическая модель метода разгрузки очередей

Рассмотрим описанный выше алгоритм в задержках. На пересылка мастер узлу запроса и получение от него ответа это $2 t_{net}$. Отправка «задания на изменение страницы» это также t_{net} , а ответ хостера с пересылкой актуальной версией страницы со сделанными изменениями – это t_{send} . Таким образом общее время:

$$t_{acc} = 3t_{net} + t_{send} \quad (10)$$

С учётом естественной оптимизации, поскольку в SCUR состояние блок не переводится, а временем стоянием в очереди, поскольку оно не включает в себя времена пересылок, мы пренебрегаем, получаем зависимость времени доступа от того является ли узел мастером или хостером отражённую в таблице 4:

Табл.4. Время доступа при разгрузке очередей

	m	h	$\bar{h} \bar{m}$	Среднее время доступа
XX	$t_{net} + t_{send}$	0	$3t_{net} + t_{send}$	$3t_{net} + t_{send} - \frac{1}{n}(5t_{net} + t_{send})$
SX	-	-	-	-
XS	$t_{net} + t_{send}$	0	$3t_{net} + t_{send}$	$3t_{net} + t_{send} - \frac{1}{n}(5t_{net} + t_{send})$
SS	-	-	-	-

h в данном случае обозначает что обращение было к узлу-хостеру, а m что обращение к узлу мастеру. Очевидно, что разнесение мастера и хостера на разные узлы даёт уменьшение времени отклика. Как предельный случай для 2х узлов:

$$t_{acc} = \frac{1}{2}(t_{net} + t_{send}) \quad (11)$$

Но самым главным плюсом является устойчивость на коллапс по страницам памяти, который при таком подходе не возникнет при соотношении:

$$V_{pl} = \frac{1}{t_{send}} \quad (12)$$

Отобразим полученные результаты графически. На приведенных 4х графиках. Анализируя результаты видно, что метод разгрузки очередей неэффективен при низких интенсивностях конфликта за общую страницу, однако при приближении

к критической интенсивности перехода в коллапс становится эффективным. Более того, метод разгрузки очередей вообще не приводит к коллапсу по доступу к общим страницам при интенсивностях больших чем $1/t_{send}$.

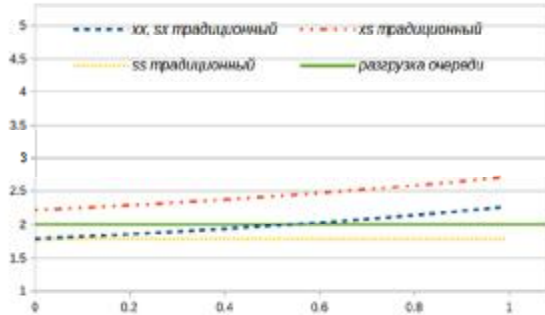


Рис.1. Результаты сравнения при n=3 и $t_{send}=t_{net}$

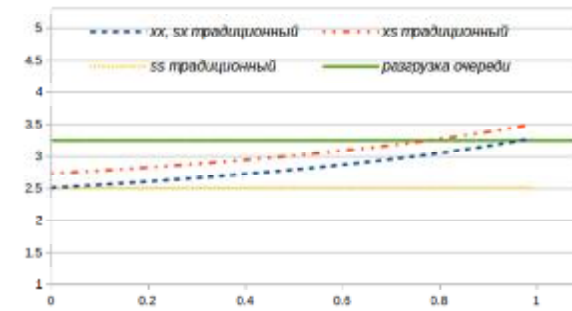


Рис.2. Результаты сравнения при n=8 и $t_{send}=t_{net}$

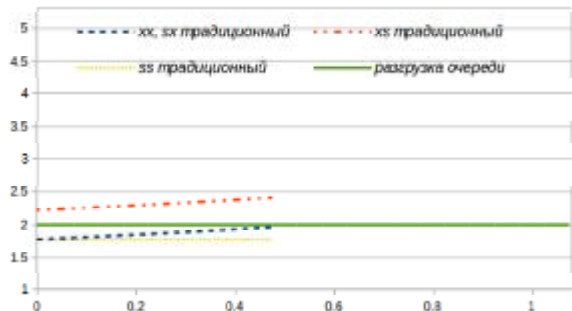


Рис.3. Результаты сравнения при n=3 и $t_{send}=2t_{net}$

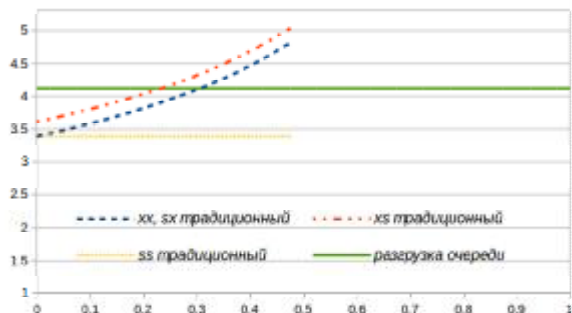


Рис.4. Результаты сравнения при n=8 и $t_{send}=2t_{net}$

Выводы

Предложенный метод разгрузки очередей позволяет решить проблему коллапса за общие страницы в облачных СУРБД использующих shared everything архитектуру. При этом остаётся возможность использовать его совместно с традиционными алгоритмами доступа к странице. Заметим, что применение алгоритма всегда увеличивает количество сетевых пакетов и как следствие – объём пересылаемых данных, что является платой за уход от коллапса по общим страницам.

Сравнивая предложенный метод с традиционными техниками ухода от коллапса по общим страницам через снижение вероятности запроса страницы стоит отметить дополняющий эффект к традиционным техникам, а также возможность снижать вероятность коллапса в тех случаях когда коллапс за страницу связан с единственным горячим ресурсом страницы (например горячей строкой). Детальное сравнение и комбинирование метода разгрузки очередей с традиционными техниками ухода от коллапса за страницу (среди которых стоит отметить наиболее популярные: секционирование и реверсивный индекс) представляет интерес однако выходит за рамки задач очерченных данной работой. Обозначая рамки последующего исследования предложенного метода необходимо обратить внимание на процесс активации метода разгрузки очередей при их возникновении и исследовать различные варианты как прогнозирования возникновения очереди так и реактивной разгрузки очереди при её возникновении в контексте исследования задержек переходного процесса и потребления ресурсов.

Список литературы

1. Гусев Е.И. Исследование области применения неблокирующего алгоритма фиксации распределённых транзакций –

Вісник НТУУ "КПІ".Сер. Інформатика, управління та обчислювальна техніка. – 2012. Випуск 57. – С.76-80

2. Menasce D. A., Popek G. J., Muntz R. R. "A locking protocol for resource coordination in distributed databases," ACM Trans. Database Syst. 5, 2 (June 1980), С. 103-138.

3. Lampson B., Sturgis H. "Crash recovery in a distributed data storage system," Tech. Rep., Computer Science Lab., Xerox Palo Alto Research Center, Palo Alto, Calif., 1976

4. Markus Michalewicz, Burt Clouse, John McHugh Oracle Real Application Clusters (RAC). – Oracle White Paper . June 2013

5. Гусев Е.И. Математическое моделирование распределённой кластерной системы использующей shared everything подход (Oracle RAC). – Вісник НТУУ "КПІ".Сер. Інформатика, управління та обчислювальна техніка. – 2014. Випуск 60. – С.106-113

6. Гусев Е.И, Кулаков А.Ю. "Исключение блокирования общего ресурса в распределённых системах". - Вісник НТУУ "КПІ".Сер. Інформатика, управління та обчислювальна техніка. – 2011. Випуск 54. – С.162-166.

7. Гусев Е.И. Моделирование трафиков и оценка скорости распределённого доступа в системах облачных вычислений с общим ресурсом на примере Oracle RAC – Вісник НТУУ "КПІ".Сер. Інформатика, управління та обчислювальна техніка. – 2015. Випуск 62. – С. 32-42.

Статью представлено в редакцию 18.12.2015